

DOI: 10.3724/SP.J.1118.2011.00713

中华绒螯蟹和罗氏沼虾 cyclin B 蛋白的原核表达、抗体制备及其鉴定

冯海洋, 邱高峰

上海海洋大学 农业部水产种质资源与利用重点开放实验室, 上海高校水产养殖学 E-研究院, 上海 201306

摘要: 从中华绒螯蟹(*Eriocheir sinensis*)和罗氏沼虾(*Macrobrachium rosenbergii*)卵巢 cDNA 中克隆了 cyclin B 基因的开放阅读框, 分别连接到 pGEX-2T 和 pET-32a 表达载体, 转化大肠杆菌 BL21(DE3), 经 IPTG 诱导表达重组蛋白 GST-EsCB 和 Trx-MrCB。通过优化培养温度、IPTG 浓度以及诱导时间, 得出重组蛋白的最佳表达条件分别为: 0.1 mmol/L IPTG、37°C、4 h 和 0.1 mmol/L IPTG、30°C、6 h。重组蛋白主要以包涵体形式存在。亲和层析纯化重组蛋白, 作为抗原免疫家兔, 制备 GST-EsCB 和 Trx-MrCB 多克隆抗体。ELISA 检测抗体效价均高达 1~80 000, Western blot 鉴定该抗体能特异性识别重组蛋白, 而且均能够从卵巢总蛋白中检测到 cyclin B 蛋白。在中华绒螯蟹未成熟卵巢中 cyclin B 蛋白出现 2 种亚型, 在罗氏沼虾未成熟卵巢中只有 1 种亚型, 推测虾和蟹 cyclin B 蛋白调控卵母细胞成熟的分子机制不同。本研究制备了 cyclin B 抗体, 旨在蛋白水平研究 cyclin B 在卵母细胞成熟过程中作用机制提供基础条件。

关键词: 中华绒螯蟹; 罗氏沼虾; cyclin B 多克隆抗体; 原核表达; 卵母细胞成熟

中图分类号: Q959

文献标志码: A

文章编号: 1005-8737-(2011)04-0713-07

成熟促进因子(maturation-promoting factor, MPF), 又名细胞分裂中期促进因子(M-phase-promoting factor), 是动物卵母细胞最终成熟的關鍵调控因素。MPF 由催化亚基 Cdc2 和调控亚基 cyclin B 组成, 它在真核生物细胞周期的 G2/M 期转变过程中发挥着广泛的调控作用, 其中, 调控亚基 cyclin B 是 Cdc2 活化并发挥其激酶活性所必须的^[1-2]。

在两栖动物、鱼类和哺乳动物卵母细胞成熟过程中, MPF 形成和活化的分子机制呈现一定程度的种属特异性^[3]。爪蟾(*Xenopus laevis*)未成熟的卵母细胞含有充足的无活性 cyclin B-Cdc2 复合体(pre-MPF), pre-MPF 的活化对于启动卵母细胞减数分裂成熟、促使生发泡破裂是必须的, 无须合

成其他蛋白质^[4-5]。在海星(*Asterina pectinifera*)^[6]、老鼠(*Mus musculus*)^[7]和牛(*Bos taurus*)^[8]的未成熟卵母细胞中也存在 pre-MPF。相反, 金鱼(*Carassius auratus*)未成熟的卵母细胞中仅含有 Cdc2 单体, 不存在 cyclin B 蛋白。只有在卵母细胞成熟时, 由于 17α, 20β-羟孕酮的诱导, 存储在卵母细胞中的 cyclin B mRNA 开始翻译合成 cyclin B 蛋白, 后者与已经存在的 Cdc2 结合, 形成活化的 MPF, 促使生发泡破裂^[9]。相似的机制在青蛙(*Rana japonica*)^[10]和斑马鱼(*Danio rerio*)^[11]中也有报道。在甲壳动物卵母细胞成熟过程中, cyclin B 是如何发挥其调控作用的至今尚不清楚。

本研究组之前克隆了中华绒螯蟹(*Eriocheir sinensis*)和罗氏沼虾(*Macrobrachium rosenber-*

收稿日期: 2010-06-10; 修订日期: 2010-08-11。

基金项目: 国家自然科学基金资助项目(30972242); 上海市科委重点科研项目(09391911100); 上海市教育委员会海洋生物学
重点学科建设项目(J50701)。

作者简介: 冯海洋(1984-), 男, 硕士, 主要从事虾蟹分子遗传与繁殖生物学研究. E-mail: hyfeng@live.cn

通讯作者: 邱高峰, 博士, 教授, 博士生导师, 研究方向: 水产动物分子遗传与繁殖、基因组学. E-mail: gfqiu@shou.edu.cn

gii)cyclin B 基因全长 cDNA 序列^[12-13], 并在 mRNA 水平分析了 cyclin B 基因在卵子发生过程中的表达情况, 表明了 cyclin B 基因可能与卵原细胞增殖和卵母细胞减数分裂成熟存在密切关系。本研究在此基础上构建了 cyclin B 蛋白原核表达质粒, 并在大肠杆菌中得到高效表达, 纯化获得了大量目的蛋白并制备了兔抗 cyclin B 抗体, 为研究甲壳动物卵母细胞最终成熟的分子机制提供了条件。

1 材料与方法

1.1 材料

中华绒螯蟹和罗氏沼虾购自当地的水产市场。大肠杆菌(*Escherichia coli*)感受态细胞 DH5α、BL21(DE3)购自上海天根生化科技公司。原核表达载体 pGEX-2T 和 pET32a 购自北京鼎国生物技

术公司。新西兰大白兔, 体质量 2.5 kg 左右, 购自第二军医大学实验动物中心。鼠源 antiHis 单抗和辣根酶标记羊抗鼠/羊抗兔 IgG 二抗购自武汉博士德生物工程公司。其他常规生化试剂均购自 Takara。

1.2 方法

1.2.1 cyclin B 基因的扩增和原核表达载体的构建

使用 Trizol Reagent(Invitrogen)提取中华绒螯蟹和罗氏沼虾卵巢总 RNA, 经 DNase 处理后, 按照 Takara first strand cDNA synthesis kit 说明书进行反转录, 获取的 cDNA 作为模板, 扩增 cyclin B 基因。根据本实验室已克隆到的中华绒螯蟹和罗氏沼虾 cyclin B 基因全长 cDNA 序列, 利用 Primer 5 软件设计特异性引物(表 1), 扩增中华绒螯蟹 cyclin B(EsCB)ORF 的 C 端和罗氏沼虾 cyclin B(MrCB)ORF 的全长。

表 1 用于原核表达载体构建的引物序列
Tab. 1 Primers used for construction of prokaryotic expression vectors

| 引物名称 primer | 引物序列(5'-3') sequence(5'-3') |
|----------------|--|
| EsCB F | CGGGATCCATGCGTGCCATCCTTGTGAC |
| EsCB R | CGCGAATTCTCA <u>ATGGTGATGGTGATGATG</u> CGAGAAAGAGGCCTTCT |
| MrCB F | CGGGATCCATGGCAACTCGGACATCTACT |
| MrCB R | CGCGAATT <u>TTATTATGTCAGAGAGGCC</u> TTCTC |

注: *Bam*H I 和 *Eco*R I 酶切位点用下划线标出, 下游引物的终止密码子用粗体字标出, 6×His-tag 用方框标出。

Note: *Bam*H I and *Eco*R I restriction sites are marked by underline; the stop codon is in bold, and 6×His-tag is in box.

反应条件为: 94℃ 预变性 3 min; 94℃ 30 s, 58℃ 30 s、72℃ 1.5 min, 共 30 个循环; 最后 72℃ 延伸 10 min。PCR 产物经 cycle-pure kit(OMEGA)纯化后, 用 *Bam*H I 和 *Eco*R I 双酶切处理。酶切片段分别与线性化质粒 pGEX-2T 和 pET32a 连接并转化 *E. coli* 感受态细胞 DH5α。使用菌落 PCR 方法筛选阳性克隆, 并使用 GenEluteTM plasmid Miniprep Kit(Sigma)提取重组质粒。重组质粒经双酶切和测序鉴定, 确定插入序列正确。

1.2.2 工程菌的诱导表达及表达条件优化 重组质粒转化 *E. coli* 感受态细胞 BL21, 涂布 LB 固体平板(含氨苄青霉素 60 μg/mL), 挑取单个菌落, 接种于 5 mL LB 液体培养基(含氨苄青霉素 60 μg/mL)中, 37℃ 振荡培养过夜。次日按 1:100 的比例扩

大培养, 至 OD₆₀₀ 介于 0.4~0.6, 加入 IPTG 诱导表达, 同时设置未诱导的工程菌作为阴性对照。

IPTG 诱导浓度设计 0.1 mmol/L、0.2 mmol/L、0.5 mmol/L、1.0 mmol/L 4 个梯度, 在 30℃ 和 37℃ 下诱导, 于 2~6 h 收集菌体检测, 确定最佳诱导剂浓度、诱导温度和诱导时间。大量诱导表达的菌体经离心收集(5 000 r/min, 4℃ 离心 5 min), 1×PBS 重悬菌体后在冰浴中超声破碎(超声时间 4 s, 间歇时间 4 s, 保护温度 24℃, 总时间 60 次)。12 000 r/min 4℃ 离心 10 min, 分别取等量的上清和含 8 mol/L 尿素的 1×PBS 重悬后溶解的沉淀进行 SDS-PAGE 分析(5%浓缩胶, 12%分离胶), 经考马斯亮蓝 R250 染色 1~2 h, 过夜脱色后观察结果。

1.2.3 重组蛋白的纯化及定量分析 使用 Magne

GSTTM Protein Purification System(Promega)纯化重组蛋白 GST-EsCB, 使用 His-Select Spin Column (Sigma)纯化重组蛋白 Trx-MrCB。

使用 Quantity One(Bio-Rad)软件分析 SDS-PAGE 电泳条带, 使用 Bradford 定量试剂盒(Bicolor)对纯化的重组蛋白进行定量分析。得出目的蛋白的相对浓度, 粗略计算出重组蛋白的产量。

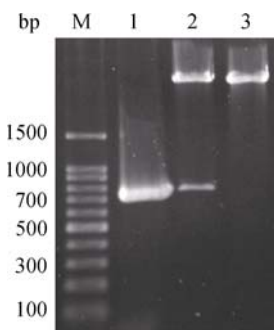


图 1 重组质粒 pGEX-EsCB 双酶切鉴定

M: DNA marker; 1: EsCB 基因 PCR 产物; 2: pGEX-EsCB 双酶切; 3: pGEX-2T 双酶切。

Fig. 1 Identification of recombinant plasmid pGEX-EsCB by double-digestion

M: DNA marker; 1: PCR product of EsCB; 2: double-digested pGEX-EsCB; 3: double-digested pGEX-2T.

1.2.4 多克隆抗体的制备及检测 选取 3 只成年健康雄性新西兰大白兔, 耳缘静脉取血, 采集免疫前正常血清, 作为阴性对照。将纯化的重组蛋白约 0.3 mg 与等体积弗氏完全佐剂混匀成乳剂, 进行背部多点皮下注射。此后分别在第 12、28、44 天加强免疫, 加强免疫时采用等量的抗原和等体积弗氏不完全佐剂乳化。最后一次加强免疫 8 d 后, 处死采血, 分离血清。抗血清经 ELISA 分析以测定其效价, 经 Western blot 分析以检测其特异性。并使用抗血清检测内源 cyclin B 蛋白。

Western blot: 重组蛋白或卵巢总蛋白经 SDS-PAGE 电泳后, 用 ATTO 半干转印槽将目的蛋白转移到 NC 膜(PALL)上。用含有 10% 小牛血清的 TTBS 缓冲液室温封闭 1 h 后, 依次用 cyclin B 抗血清为一抗、HRP 标记的羊抗兔 IgG 为二抗, 对其进行 western blot 分析, 使用 DAB 显色液或 ECL 法检测(Boster)。

2 结果与分析

2.1 目的基因的 PCR 扩增及原核表达载体的构建

以中华绒螯蟹和罗氏沼虾卵巢 cDNA 为模板, 使用特异性引物 PCR 扩增中华绒螯蟹 cyclin B(EsCB)ORF 的 C 端和罗氏沼虾 cyclin B(MrCB)ORF 的全长。其中 EsCB R 在终止密码子前面加入 6×His-tag, 方便了使用 His 标签抗体检测重组蛋白。PCR 产物在 720 bp(EsCB)和 1 230 bp(MrCB)处有目的条带, 与预期结果相符。分别将其克隆至原核表达载体 pGEX-2T 和 pET32a 中, 构建重组质粒。经 BamH 和 EcoR 双酶切鉴定, 结果显示在 720 bp 和 1 230 bp 处有目的条带(图 1, 图 2)。测序结果同预期的完全一致, 表明重组质粒构建成功。将重组质粒分别命名为 pGEX-EsCB 和 pET32a-MrCB。

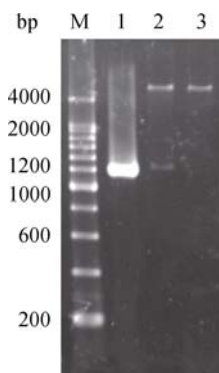


图 2 重组质粒 pET32a-MrCB 双酶切鉴定

M: DNA marker; 1: MrCB 基因 PCR 产物; 2: pET32a-MrCB 双酶切; 3: pET32a 双酶切。

Fig. 2 Identification of recombinant plasmid pET32a-MrCB by double-digestion

M: DNA marker; 1: PCR product of MrCB; 2: double-digested pET32a-MrCB; 3: double-digested pET32a.

2.2 Cyclin B 重组蛋白在大肠杆菌中的表达及表达条件优化

收集的工程菌经超声破碎, 分离上清和沉淀, 进行 SDS-PAGE 电泳分析。与未经诱导的工程菌相比, 经过 IPTG 诱导后, 菌体蛋白沉淀泳道分别在 50 kD 和 63 kD 处出现 1 条明显加粗的条带, 大小与预测的重组蛋白分子量相近($\text{Mr}_{\text{GST-EsCB}} = 50 \text{ kD}$, $\text{Mr}_{\text{Trx-MrCB}} = 63 \text{ kD}$), 而上清泳道则无相应的条带, 表明重组蛋白主要以包涵体形式存

在含有空质粒的工程菌经过 IPTG 诱导后，菌体蛋白上清泳道出现一条明显加粗的条带，与表达质粒上的融合蛋白大小相近($M_{r,\text{GST}} = 26.3 \text{ kD}$, $M_{r,\text{Trx}} = 20.4 \text{ kD}$)详见图 3, 图 4。

在 30℃ 和 37℃ 条件下，使用终浓度 1.0 mmol/L IPTG 诱导，发现温度对重组蛋白的表达具有一定影响。GST-EsCB 重组蛋白在 37℃ 的表达量明显高于在 30℃ 的表达量(图 5a)，Trx-MrCB 重组蛋白在 30℃ 的表达量略高于在 37℃ 的表达量(图 6a)。

在最佳培养温度的条件下，使用终浓度 0.1~1.0 mmol/L IPTG 诱导 4 h，发现不同浓度的 IPTG

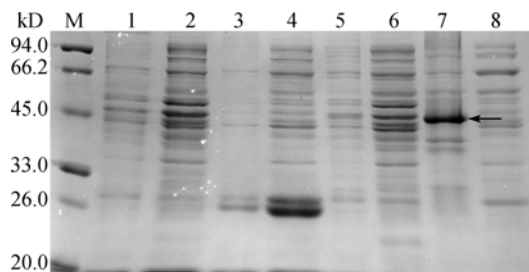


图 3 GST-EsCB 重组蛋白的表达分析

M: 蛋白分子量标准; 1-2: pGEX-2T 未诱导裂解后沉淀和上清; 3-4: pGEX-2T 诱导裂解后沉淀和上清; 5-6: pGEX-EsCB 未诱导裂解后沉淀和上清; 7-8: pGEX-EsCB 诱导裂解后沉淀和上清; 箭头示目的蛋白。

Fig. 3 Expression analysis of recombinant protein GST-EsCB M: protein marker; 1-2: precipitation and supernatant of uninduced pGEX-2T; 3-4: precipitation and supernatant of induced pGEX-2T; 5-6: precipitation and supernatant of uninduced pGEX-EsCB; 7-8: precipitation and supernatant of induced pGEX-EsCB; arrow indicates target protein.

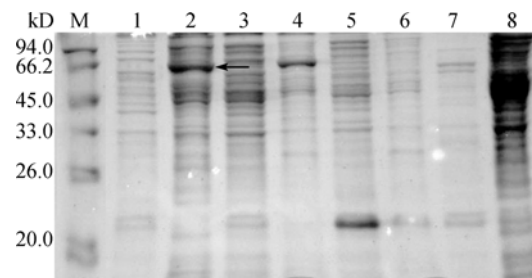


图 4 Trx-MrCB 重组蛋白的表达分析

M: 蛋白分子量标准; 1-2: pET32a-MrCB 诱导裂解后上清和沉淀; 3-4: pET32a-MrCB 未诱导裂解后上清和沉淀; 5-6: pET32a 诱导裂解后上清和沉淀; 7-8: pET32a 未诱导裂解后上清和沉淀; 箭头示目的蛋白。

Fig. 4 Expression analysis of recombinant protein Trx-MrCB M: protein marker; 1-2: supernatant and precipitation of induced pET32a-MrCB; 3-4: supernatant and precipitation of uninduced pET32a-MrCB; 5-6: supernatant and precipitation of induced pET32a; 7-8: supernatant and precipitation of uninduced pET32a; arrow indicates target protein.

对于重组蛋白的表达量无显著影响(图 5b、图 6b)。考虑到高浓度的 IPTG 可能影响大肠杆菌的正常生长，故选择 0.1 mmol/L IPTG 作为最佳诱导剂浓度。

使用最佳的培养温度和 IPTG 终浓度，于 2~6 h 收集菌体检测，发现重组蛋白的表达量随诱导时间的延长而增加，但当诱导时间超过 4 h(GST-EsCB)或 6 h(Trx-MrCB)，重组蛋白的表达量不再增加(图 5c, 图 6c)。鉴于此，GST-EsCB 重组蛋白的最佳诱导条件选择 37℃ 0.1 mmol/L IPTG 诱导 4 h，Trx-MrCB 重组蛋白的最佳诱导条件选择 30℃ 0.1 mmol/L IPTG 诱导 6 h。

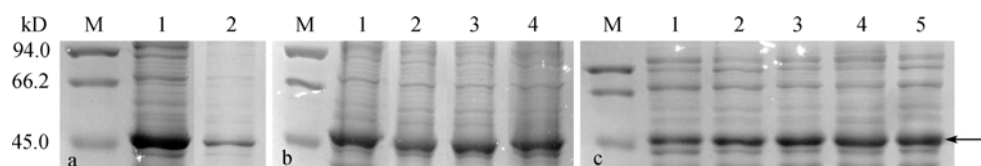


图 5 GST-EsCB 重组蛋白诱导表达条件优化

- 优化诱导温度(1.0 mmol/L IPTG 诱导 4 h); 1: 37℃; 2: 30℃.
- 优化 IPTG 浓度(37℃ 诱导 4 h); 1: 0.1 mmol/L; 2: 0.2 mmol/L; 3: 0.5 mmol/L; 4: 1.0 mmol/L.
- 优化诱导时间(37℃ 0.1 mmol/L IPTG); 1: 2 h; 2: 3 h; 3: 4 h; 4: 5 h; 5: 6 h. M: 蛋白分子量标准.

Fig. 5 Optimizing induction conditions of recombinant protein GST-EsCB
a. Optimization of cultivation temperature (1.0 mmol/L IPTG 4 h); 1: 37℃; 2: 30℃.

- Optimization of IPTG concentration (37℃ 4 h); 1: 0.1 mmol/L; 2: 0.2 mmol/L; 3: 0.5 mmol/L; 4: 1.0 mmol/L.
- Time course expression of recombinant protein (37℃ 0.1 mmol/L IPTG); 1: 2 h; 2: 3 h; 3: 4 h; 4: 5 h; 5: 6 h. M: protein marker.

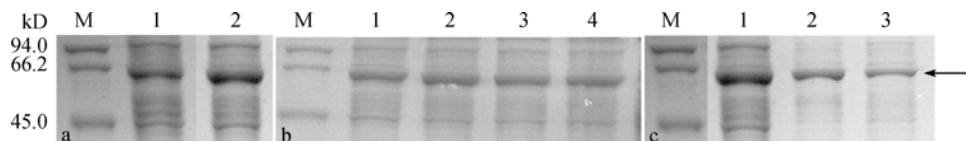


图 6 Trx-MrCB 重组蛋白诱导表达条件优化

- a. 优化诱导温度(1.0 mmol/L IPTG 诱导 6 h); 1: 37°C; 2: 30°C. b. 优化 IPTG 浓度(30°C 诱导 4 h); 1: 0.1 mmol/L; 2: 0.2 mmol/L; 3: 0.5 mmol/L; 4: 1.0 mmol/L. c. 优化诱导时间(30°C 0.1 mmol/L IPTG); 1-6 h; 2-4 h; 3-2 h. M: 蛋白分子量标准.
- Fig. 6 Optimizing induction conditions of recombinant protein Trx-MrCB
- a. Optimization of cultivation temperature (1.0 mmol/L IPTG 6 h); 1: 37°C; 2: 30°C.
- b. Optimization of IPTG concentration (30°C 4 h); 1: 0.1 mmol/L; 2: 0.2 mmol/L; 3: 0.5 mmol/L; 4: 1.0 mmol/L.
- c. Time course expression of recombinant protein (30°C 0.1 mmol/L IPTG); 1-6 h; 2-4 h; 3-2 h. M: protein marker.

2.3 重组蛋白的纯化及定量分析

根据 GST-EsCB 重组蛋白在 N 端融合了 GST(谷胱甘肽-S-转移酶), Trx-MrCB 重组蛋白在近 N 端融合了 6 个 His 标签, 利用亲和层析原理纯化重组蛋白。目的蛋白在 SDS-PAGE 中均呈现单一一条带, 说明获得了高纯度的重组蛋白(图 7b)。

使用 His 标签抗体作为一抗检测重组蛋白, 在目的蛋白大小处检测到特异性条带, 证明表达的重组蛋白为目的蛋白(图 8a)。

重组蛋白定量分析表明, 在最适诱导条件下, 目的蛋白占包涵体总量分别为 39.6%(GST-EsCB) 和 56.42%(Trx-MrCB), 纯化的重组蛋白浓度分别为 0.634 mg/mL(GST-EsCB) 和 0.846 mg/mL(Trx-MrCB)。从而推算出重组蛋白的产量, 100 mL 培养物中重组蛋白的表达量分别为 3.17 mg(GST-EsCB) 和 4.5 mg(Trx-MrCB)。

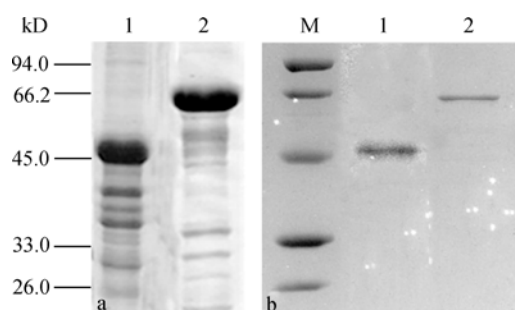


图 7 SDS-PAGE 分析洗涤后的包涵体和纯化后的重组蛋白

- a. 包涵体总蛋白; b. 亲和层析纯化的重组蛋白.
M: 蛋白分子量标准; 1: GST-EsCB; 2: Trx-MrCB.

Fig. 7 SDS-PAGE analysis of inclusion body and purified recombinant protein

a. Inclusion body after washing; b. Purified recombinant protein by affinity chromatography.
M: protein marker; 1: GST-EsCB; 2: Trx-MrCB.

2.4 cyclin B 抗体的制备与检测

纯化的重组蛋白分 4 次免疫家兔, 制备 cyclin B 多克隆抗体。

GST-EsCB 抗血清: 针对 GST-EsCB 重组蛋白的效价大于 1 160 000, 针对 GST 标签蛋白的效价 1 80 000, GST-EsCB 抗血清针对重组蛋白的效价是针对 GST 的 4~8 倍, 所以制备的 GST-EsCB 抗血清主要是针对 GST-EsCB 重组蛋白的。

Trx-MrCB 抗血清: 针对 Trx-MrCB 重组蛋白的效价大于 1 80 000。

Western blot 结果显示, 1 20 000 稀释的 GST-EsCB 抗血清和 1 100 000 稀释的 Trx-MrCB 抗血清能够特异性识别重组蛋白, 说明了制备的抗血清特异性好(图 8b)。使用 1:5 000 稀释的 GST-EsCB 抗血清在中华绒螯蟹未成熟卵巢中检测到 41.2 kD 和 39.5 kD 两种形式的 cyclin B 蛋白(图 9a), 使用 1:5 000 稀释的 Trx-MrCB 抗血清

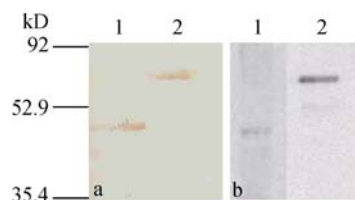


图 8 His 抗体和 Cyclin B 抗血清检测重组蛋白的 Western blot 分析

- a. His 抗体检测重组蛋白; b. Cyclin B 抗血清检测重组蛋白.
1: GST-EsCB; 2: Trx-MrCB.

Fig. 8 Western blot analysis of recombinant protein with anti-His antibody and Cyclin B antiserum

a. anti-His antibody detecting recombinant protein; b. Cyclin B antiserum detecting recombinant protein.
1: GST-EsCB; 2: Trx-MrCB.

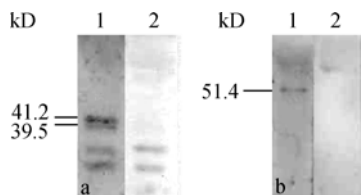


图 9 Cyclin B 抗血清检测卵巢总蛋白

a. anti-EsCB 抗血清检测中华绒螯蟹卵巢总蛋白;

b. anti-MrCB 抗血清检测罗氏沼虾卵巢总蛋白。

1: Cyclin B 抗血清; 2: 阴性兔血清。

Fig. 9 Western blot analysis of ovarian protein with Cyclin B antiserum

a. anti-EsCB antiserum detecting crab ovarian protein;

b. anti-MrCB antiserum detecting prawn ovarian protein.

1: Cyclin B antiserum; 2: negative rabbit serum.

在罗氏沼虾未成熟卵巢中检测到 51.4 kD 的 cyclin B 蛋白(图 9b), 与预期的内源 cyclin B 蛋白(约 45 kD)大小接近。

3 讨论

中华绒螯蟹 cyclin B 的 N 端含有较多的大肠杆菌稀有密码子, 可能影响其在大肠杆菌中正常表达^[14-15]。鉴于此, 本研究选择原核表达载体 pGEX-2T, 截短表达中华绒螯蟹 cyclin B 的 C 端 233 个氨基酸。为了获得大量的重组蛋白, 本实验从培养温度、诱导剂浓度和培养时间 3 个角度优化诱导表达条件。培养温度是影响大肠杆菌生长的主要因素, 37 °C 是大肠杆菌的最佳生长温度, 但不一定是表达重组蛋白的最适温度, 适当降低培养温度有利于增加外源蛋白的可溶性表达; 高浓度的 IPTG 可能影响大肠杆菌的正常生长, 所以选择低浓度的 IPTG; 随着诱导时间的增加, 重组蛋白的表达量均匀增加, 数小时后达到平台期。诱导前大肠杆菌菌体浓度也是需要考虑的因素, 起始 OD 值过高, 细菌生长过老而活力下降, 不利于诱导表达重组蛋白。OD₆₀₀ 在 0.4~0.6 时, 菌体处于对数生长期, 最适合起始诱导。

使用最佳诱导条件大量表达重组蛋白, 经亲和层析纯化, 作为抗原免疫家兔制备 cyclin B 多克隆抗体。使用间接 ELISA 方法测定 cyclin B 抗血清效价, 发现 GST-EsCB 抗血清中, 少量抗体是针对 GST 标签蛋白的, 大部分抗体是针对重组

蛋白的, 效价大于 1 : 160 000。Trx-MrCB 抗血清中针对重组蛋白的抗体效价大于 1 : 80 000。Western blot 分析检测抗血清的特异性, 使用更为灵敏的 ECL 检测手段, GST-EsCB 抗血清和 Trx-MrCB 抗血清都能够特异性识别重组蛋白, 而且均能够从卵巢总蛋白中检测到 cyclin B 蛋白。这说明了制备的 cyclin B 抗血清效价高, 特异性好, 可用于检测内源 cyclin B 蛋白。

与爪蟾等大多数动物卵母细胞成熟模式相似, 本研究在中华绒螯蟹和罗氏沼虾未成熟卵巢中都检测到 cyclin B 蛋白(图 9), 说明 cyclin B 蛋白在卵母细胞成熟前就已经存在。有趣的是, 在中华绒螯蟹未成熟卵巢中 cyclin B 蛋白出现 2 种亚型, 可能与 cyclin B 蛋白磷酸化修饰有关。在爪蟾^[4]、金鱼^[9]、海星^[16]和海胆^[17]卵母细胞成熟过程中, cyclin B 蛋白由于发生了磷酸化修饰也出现 2 种亚型。但是 cyclin B 蛋白在罗氏沼虾未成熟卵巢中只有 1 种亚型, 说明 cyclin B 蛋白在虾蟹类卵母细胞成熟过程中分子调控机制可能存在不同。本研究制备的 cyclin B 抗体为在蛋白水平进一步阐明 cyclin B 在虾蟹类卵母细胞成熟过程中的分子调控机制提供了条件。

参考文献:

- [1] Nurse P. Universal control mechanism regulating onset of M-phase [J]. Nature, 1990, 344: 503–508.
- [2] Masui Y. Towards understanding the control of the division cycle in animal cells [J]. Biochem Cell Biol, 1992, 70: 920–945.
- [3] Nagahama Y, Yamashita M. Regulation of oocyte maturation in fish [J]. Dev Growth Differ, 2008, 50 (Suppl 1): S195–219.
- [4] Gautier J, Maller J L. Cyclin B in Xenopus oocytes: implications for the mechanism of pre-MPF activation [J]. EMBO J, 1991, 10: 177–182.
- [5] Minshull J, Murray A, Colman A, et al. Xenopus oocyte maturation does not require new cyclin synthesis [J]. J Cell Biol, 1991, 114: 767–772.
- [6] Miyake Y, Deshimaru S, Toraya T. Revised sequence and expression of cyclin B cDNA from the starfish *Asterina pectinifera* [J]. Biosci Biotechnol Biochem, 2001, 65: 1119–1126.
- [7] Chesnel F, Eppig J J. Synthesis and accumulation of p34cdc2

- and cyclin B in mouse oocytes during acquisition of competence to resume meiosis [J]. Mol Reprod Dev, 1995, 40: 503–508.
- [8] Levesque J T, Sirard M A. Resumption of meiosis is initiated by the accumulation of cyclin B in bovine oocytes [J]. Biol Reprod, 1996, 55: 1427–1436.
- [9] Yamashita M, Kajiura H, Tanaka T, et al. Molecular mechanisms of the activation of maturation-promoting factor during goldfish oocyte maturation [J]. Dev Biol, 1995, 168: 62–75.
- [10] Ihara J, Yoshida N, Tanaka T, et al. Either cyclin B1 or B2 is necessary and sufficient for inducing germinal vesicle breakdown during frog (*Rana japonica*) oocyte maturation [J]. Mol Reprod Dev, 1998, 50: 499–509.
- [11] Kondo T, Yanagawa T, Yoshida N, et al. Introduction of cyclin B induces activation of the maturation-promoting factor and breakdown of germinal vesicle in growing zebrafish oocytes unresponsive to the maturation-inducing hormone [J]. Dev Biol, 1997, 190: 142–152.
- [12] Fang J J, Qiu G F. Molecular cloning of cyclin B transcript with an unusually long 3' untranslation region and its expression analysis during oogenesis in the Chinese mitten crab, *Eriocheir sinensis* [J]. Mol Biol Rep, 2009, 36: 1521–1529.
- [13] 房君江. 中华绒螯蟹、罗氏沼虾 Cyclin B 基因 cDNA 克隆及其在卵子发生过程中表达分析 [D]. 上海: 上海海洋大学, 2008.
- [14] Kane J F. Effects of rare codon clusters on high-level expression of heterologous proteins in *Escherichia coli* [J]. Curr Opin Biotechnol, 1995, 6: 494–500.
- [15] Kurland C, Gallant J. Errors of heterologous protein expression [J]. Curr Opin Biotechnol, 1996, 7: 489–493.
- [16] Pondaven P, Meijer L, Beach D. Activation of M-phase-specific histone H1 kinase by modification of the phosphorylation of its p34cdc2 and cyclin components [J]. Genes Dev, 1990, 4: 9–17.
- [17] Meijer L, Arion D, Golsteyn R, et al. Cyclin is a component of the sea urchin egg M-phase specific histone H1 kinase [J]. EMBO J, 1989, 8: 2275–2282.

Prokaryotic expression, antibody preparation, and identification of a cyclin B protein in the Chinese mitten crab *Eriocheir sinensis* and Malaysian giant prawn *Macrobrachium rosenbergii*

FENG Haiyang, QIU Gaofeng

Key Laboratory of Aquatic Genetic Resources and Utilization Certificated by Ministry of Agriculture, E-Institute of Shanghai Universities (EISU), Shanghai Ocean University, Shanghai 201306, China

Abstract: We amplified the open reading frames (ORFs) of the cyclin B gene from the ovarian cDNA of the Chinese mitten crab *Eriocheir sinensis* and the Malaysian giant prawn *Macrobrachium rosenbergii*. The ORFs from these two species were then ligated into the expression plasmids pGEX-2T and pET32a, respectively. Following transfer of the recombinant plasmids into a host bacteria, *Escherichia coli* BL21 (DE3), the recombinant proteins were expressed as inclusion bodies by induction with IPTG. The optimum concentration of IPTG was 0.1 mmol/L for 4 h at 37°C for GST-EsCB and 0.1 mmol/L PTG for 6 h at 30°C for Trx-MrCB. The recombinant proteins were subsequently purified by affinity chromatography. The cyclin B antibody was further refined by immunizing New Zealand white rabbits with the purified protein. The highest resulting antiserum titer was 1–80 000 (ELISA). We verified the specificity of the antibodies against the recombinant protein and ovarian cyclin B protein by western blot. We isolated two isoforms of the cyclin B protein from the immature crab ovaries, but only one form from the prawn ovaries. Thus, our data suggest that the role of cyclin B in the regulation of oocyte maturation may differ between crabs and prawns. The cyclin B antibody will be useful for further study of the role of cyclin B on MPF activation and oocyte maturation.

Key words: cyclin B; prokaryotic expression; polyclonal antibody; Chinese mitten crab; Malaysian giant prawn; oocyte maturation

Corresponding author: QIU Gaofeng. E-mail: gfqiu@shou.edu.cn